分析测试仪器功能开发(241~244)

新型 PVT性质测试系统的研制

杨志强,郝志军,王 伟,曾纪珺,张 伟,吕 剑 (西安近代化学研究所,陕西西安 710065)

摘 要: 研制了一套新型压力 – 温度 – 体积 (PVT)性质测试系统. 该系统由自行开发的测控软件实时测控, 温度测量精度可达 ±10 mK, 压力测量系统最大不确定度为 ±1.2 KPa 利用新的测试系统对 294~351 K温度区间的 Hydrofluorocarbons(HFC) – 245 fa饱和蒸气压进行了研究. 实验结果表明, HFC – 245 fa的测量值与公认文献值的平均偏差小于 0.03%, 最大偏差小于 0.48%, 结果与文献值吻合较好.

关键词: PVT性质;测试系统; HFC - 245fa 饱和蒸气压

中图分类号: TB852 1

文献标识码: B

氢氟烃 (Hydrofluorocarbons, HFCs), 具有无毒、 不可燃、高稳定性、臭氧消耗潜值为零、低温室效应 值的特点。被认为是一类较理想的臭氧层消耗物质 (ozone depletion substance, ODS)替代品. 近年来, 氢 氟烃混合物的压力 - 温度 - 体积 - 组分 (PVTx)性 质的研究越来越受到重视,理论模型和实验测试技 术不断发展,逐渐成为活跃的研究课题.国内清华大 学[1]、西安交通大学[2]、中国科技大学[3]等高校以 及国外一些研究机构[45]都研制了压力 - 温度 - 体 积(PVT)性质测试系统. 但由于实验测试过程复杂, 文献中混合型氢氟烃的 PVTx 数据相当匮乏. 鉴于 此, 本文研制了新型 PVT性质测试系统, 并对新型 发泡剂 HFC - 245 fa的蒸汽压进行测试,将所得数 据与文献值[67]相比较,讨论测量结果的准确性以 及评价测试系统的可靠性,以期为今后混合型氢氟 烃的 PVTx性质研究提供可靠的测量方法.

1 PVT性质测试系统

本文研制的 PVT性质测试系统主要由恒温槽、温度测量系统、压力测量系统、真空配气系统、样品容器以及测控软件等部分组成, 如图 1所示.

1 1 恒温槽

恒温槽为自行研制,分为测试区和温控区.测试 区内放置样品容器,进行 PVT性质测试实验.温控 区内安装加热装置、电压控制装置、换热装置和搅拌器. 电压控制装置可对加热器进行无级调压, 根据 4~20 mA 输入信号产生控制电压, 驱动加热装置工作, 可实现高精度的温控效果. 搅拌器推动内槽中的恒温介质循环流动, 加快恒温介质的热量传递. 换热装置通过保温管与制冷装置连接, 使得内槽中的恒温介质可进行低温控制. 恒温槽的内槽与外槽之间填充保温材料, 隔绝与外部环境的热量交换. 使用201- 10° 甲基 $(-30~150~{\circ}{\circ})$ 硅油作为恒温介质. 控制效果显示, 波动度小于 $\pm 10~{\circ}{\circ}$ Mk / 30 m in, 可以满足 PVT性质的测试要求.

文章编号: 1006-3757(2009) 04-0241-04

12 温度测量系统

温度的测量系统由铂电阻温度计和数据采集器组成. 铂电阻温度计采用计量用标准铂电阻温度计(云南仪表厂制造, 型号规格为 W ZPB, 编号为 No 4349, 由国防科技工业 6114计量站鉴定), 测温精度小于 ±2 mK; 数据采集器采用安捷伦 34970A 数据采集开关单元 (6位半)作为温度信号的采集仪表,整个温度测量范围内温度测量总不确定度小于 ±10 mK.

13 压力测量系统

压力测量系统由 0 02级活塞式压力计 (型号: YS-60, 西安仪表厂生产)、0 04级的压力传感器 (型号: PM P4015, 由美国 GE 公司定制)和 0 2级差

收稿日期: 2009-08-21; 修订日期: 2009-09-16

作者简介: 杨志强 (1984-), 男, 本科, 在读研究生, 从事制冷工质热物性研究.

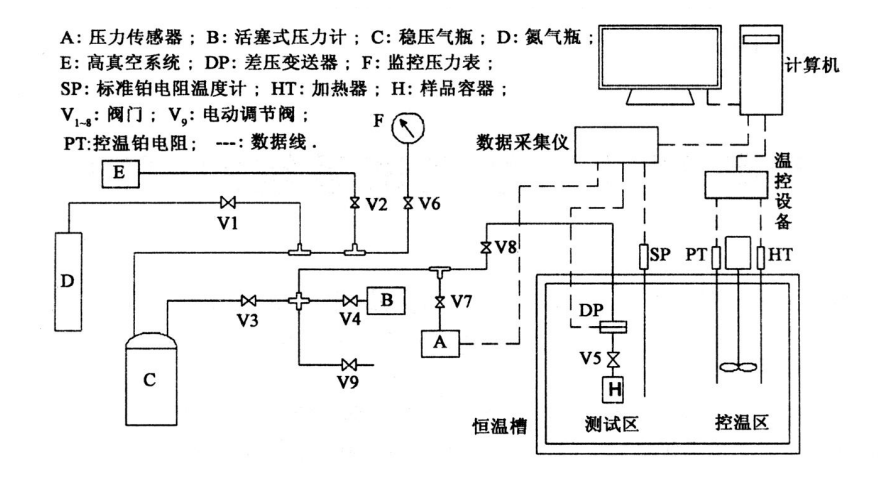


图 1 PVT性质测试系统示意图

Fig 1 Schematic diagram of PVTM easurement System

压变送器 (型号: 1151DP, 西安仪表厂生产)、氮气瓶、电动调节阀及测试管路组成^[2]. 其中压力传感器和差压变送器的实测值通过安捷伦 34970A 数据采集器进行实时采集, 整个压力系统测量的量程为0~3MPa 最大不确定度为 $\pm 1.2kPa$

1 4 样品容器与真空配气系统

被测样品容器为圆柱型耐压容器,用于充装被测体系,经过清洗、试压、抽高真空等处理后,对样品容器的体积进行标定.真空配气系统由真空泵、真空计、配气钢瓶、精密天平以及气瓶管路组成,真空泵采用 $\mathbb{K} - 100$ 真空机组,极限真空度可达 $4 0 \times 10^{-4}$ Pa 真空系统的真空度由 NYTF – \mathbb{II} 复合真空计测量,量程为 $10^{5} \sim 10^{-6}$ Pa 配气钢瓶定做加工,容积约为 $50 \, \mathrm{mL}$ 混配量由 BSA 4238 精密天平称量.

15 测控软件

本文在应用最新温度、压力测试技术的基础上,结合虚拟仪器和自动化技术,自行开发基于 V isual Basic的测控软件.该测控软件能够将测量数据进行实时采集和分析处理,并以数字表格和变化曲线的形式显示,简化测试过程,实现自动化测量.此外,该软件采用数字比例微分积分 (PID)算法,动态调节电压控制装置.控制恒温槽内温度.

2 关键技术的解决与创新

2 1 恒温槽的改进设计

恒温槽的作用在于为样品容器提供稳定的恒温 环境. 当恒温时间足够长时(一个小时以上),可认 为样品容器内的温度与恒温介质的温度达到平衡, 恒温槽内温度即为被测体系温度。因此 恒温槽性能 ubii

直接影响 PVT性质测量数据的准确性.

影响恒温槽性能的重要因素为温度控制方式和槽体的结构设计. 在温度控制方式方面, 本文采用结合 Sm ith补偿的 PID控制方式 $^{[s]}$, Sm ith补偿模型的传递函数为 $[1-e^{-\Gamma s}]G(s)$, 通过与 PID 控制器并接的方式, 将预估量和补偿量分别传递到偏差值 e(K)和实测值 r(k), 在具有纯滞后特征的温控系统中具有显著的效果. 系统框图见图 2

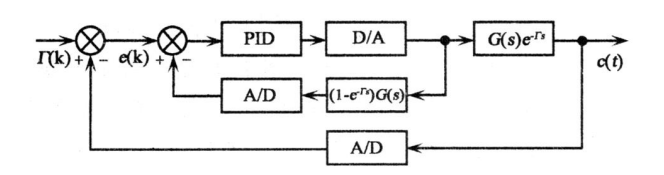


图 2 Smith补偿系统框图

Fig 2 Block diagram of Sm ith method

在槽体的结构设计方面,将内槽设计为纵截面为 U型、横截面为圆形的结构, U型结构的左边是测试区,右边是温控区,如图 3所示.恒温介质在搅拌器的作用下,自下而上循环流动,有效减小恒温介质在纵截面上的温差.为降低恒温介质在横截面上的温差,将加热和制冷装置均安装在温控区,并且将内槽的横截面设计为圆形结构,减少了槽内循环死角,降低了内槽中扰动,此外,在测试区安装整流管,具有显著的恒温控制效果.

2.2 虚拟仪器技术的应用

标准铂电阻温度计是目前精度最高的测温仪器,需结合数据采集器进行温度测量. 然而, 传统的数据采集器不能进行温度值的直接测量。需要测试

人员进行查表换算,工作量大效率低.虚拟仪器技术 (Virtual Instrument, VI)是一种新兴的现代测试技术,利用虚拟仪器软件结构 (Virtual Instrument Software Architecture, VEA),无论仪器采用 VXI GPIR, RS-232串口、USB串口等不同类型的接口,都可以使计算机与仪器建立通信,结合计算机软件技术,增强仪器的功能.

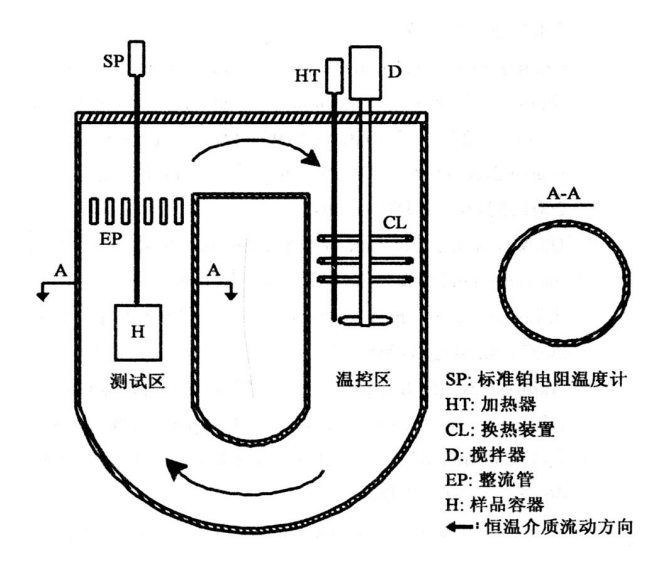


图 3 恒温槽结构示意图

Fig. 3 Schematic diagram of thermostatic bath

本文利用安捷伦提供 V EA 库, 与 34970数据采集器建立通信, 结合计算机软件技术, 将标准铂电阻温度计的实测电阻值转换为温度值, 主程序的端口初始化命令为:

Call v OpenDefaultRM (m)

Call v O pen(m, "A SRL l: N STR", Q Q vi) 其中, A SRL l: N STR 为仪器的通信地址, m 为双精度变量. 本文将标准铂电阻温度计的实测值 赋予 m, 按照国际温标宣贯手册中规定的参考方程, 编写转换程序, 实现温度值的实时转换. 利用本文介绍的虚拟仪器技术, 使得数据采集器能够直接进行温度值的测量, 并可结合巡检模块, 实现多路实时测量.

3 HFC-245fa饱和蒸汽压的实测结果

在热力学性质的研究中, 饱和蒸汽压和 PVT性质对温度和压力的测量准确度要求最高. 由于饱和蒸汽压的测试过程简单, 很多学者采用饱和蒸汽压数据验证测试系统的可靠性^[3], HFC-245 fa是一种

新型发泡剂,选择 HFC - 245fa作为研究对象,即可以提供基础的物性数据,还可以检验 PVT性质测试系统的可靠性.本文对 295~351 K 共 29组 HFC - 245fa的饱和蒸气压数据进行了测量.其中,实验样品由浙江省蓝天环保化工有限公司提供,纯度高于99.5% (质量分数),没有进一步提纯.HFC - 245fa饱和蒸气压的实验结果、计算值以及实验值与计算值的偏差见表 1

表 1 HFC-245fa饱和蒸气压的实测结果

Table 1 Experimental vapor pressure of HFC- 245 fa

	Laperin		or pressur		
T	$P_{\text{exp}} = Z \text{hong-WeiWang}^{[6]}$				i N ico la ^[7]
/K	/ kPa	$P_{\rm cal}/{\rm kPa}$	△ /%	$P_{\rm cal}$ /kPa	△ <i>1</i> %
295 163	132 15	132 50	- 0 264	132 39	- 0. 181
299 178	153. 82	153. 90	- 0 050	153. 80	0 013
301 014	164. 13	164. 53	- 0 240	164. 46	- 0. 200
303 165	177. 92	177. 73	0. 107	177. 66	0 146
305 493	192 78	192 92	- 0 070	192 86	0 041
307. 756	208 63	208 65	- 0 010	208 59	0 019
309 025	217. 21	217. 90	- 0 317	217. 84	0 289
311 144	234. 36	234. 04	0. 137	233. 97	0 167
313 623	254. 28	254. 10	0.071	254. 02	0 102
315 485	271. 32	270. 02	0.481	269. 92	0 519
317. 751	290. 23	290. 41	- 0 060	290. 29	0 021
319 486	307. 77	306 82	0. 310	306.68	0 355
321 397	324. 38	325. 71	- 0 408	325. 52	- 0. 35
323 435	347. 58	346 82	0. 219	346. 59	0 286
325 146	365. 40	365. 35	0.014	365.06	0 093
327. 282	389. 72	389. 52	0.051	389. 16	0 144
329 115	413. 21	411. 22	0.484	410.77	0 594
331 219	436, 38	437. 27	- 0 204	436 72	- 0 078
333 485	467. 72	466. 70	0. 219	466 00	0 369
335 603	497. 02	495. 54	0. 299	494. 69	0 471
337. 264	520. 12	519. 09	0. 198	518 10	0 390
339 132	545. 12	546. 58	- 0 267	545. 41	- 0. 053
341 267	581. 51	579. 34	0. 375	577. 93	0 619
343 851	619. 56	620. 95	- 0 224	619. 20	0 058
345 163	642 26	642 90	- 0 100	640. 96	0 202
347. 246	680. 63	678. 98	0. 243	676. 69	0 582
349 314	718 46	716 25	0.309	713. 57	0 685
351 467	754. 32	756 72	- 0 317	753. 59	0 097
平均偏差		0.03		0 185	
最大偏差		0 484		0 685	

从表 1的计算结果可以发现,本文测试系统的实验结果与文献 [5]提供的蒸气压方程非常接近,平均偏差为 0,03%,最大偏差为 0,484%,为了进一

步分析实验结果,以文献 [6]中提供的蒸气压方程 为基准,将本文和文献 [7]的实验结果与文献 [6]蒸 气压方程的偏差进行比较,计算结果显示,本文与文 献 [6]的吻合程度较好,见图 4

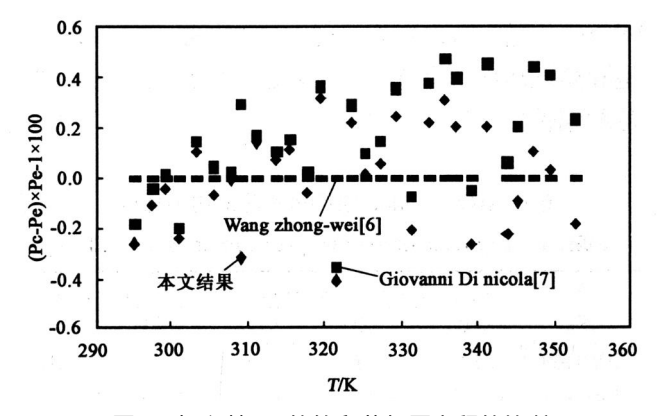


图 4 与文献 [6]的饱和蒸气压方程的比较 Fig 4 Comparison of experimental

data of HFC-245fa with equation in reference[6]

4 结论

本文研制的新型 PVT性质测试系统, 恒温槽的波动小于 ± 10 mk/30 m in, 温度测量不确定度为 ± 5 mK, 压力测量范围为 $0 \sim 3$ M Pa, 最大不确定度为 ± 1 2 kPa 由 H FC = 245 fa饱和蒸汽压的测量结果与文献 [6]提供的蒸汽压方程的比较结果可知, 平均偏差为 0.18%, 最大偏差为 0.484%, 具有非常好的复现性, 进一步验证了测试系统的可靠性.

参考文献:

- [1] Long Meng Yuan Yuan Duan, Qi chen PVTx properties in the gas phase for diffuoromethane(HFC 32) + pentafluoroethane(HFC 125) [J]. J Chem Eng Data 2004, 49(6): 1821 1826
- [2] 吴江涛, 刘志刚, 黄海华, 等. 高精度流体 PVTx性 质测量实验系统的研制 [J]. 西安交通大学学报, 2003 37(1):5-9.
- [3] Chen Jian xin, Chen Ze- shao, Hu P, et al. Vaporliquid equilibria for the binary system pentafluoroethane (HFC- 125) + isobutane (HC- 600a) at temperatures from (243, 15 to 333, 15) K[J]. J Chem Eng Data, 2007, 52(6): 2159-2162
- [4] DiNicola G, Polonara F, Santori G. Isochoric PVTx measurements for the carbon dixide + 1, 1 diffuoroethane binary system [J]. J Chem Eng Data 2007, 52(4): 1258-1261.
- [5] Akhmed R B, Ilmutdin M A. PVT measurements for toluene in the near - critical and supercritical regions [J]. Journal of Chemical and Engineering Data, 2001, 46(5): 1 089-1 094.
- [6] Wang Z. Duan Y. Vapor pressures of I, I, I, 3, 3 pentafluoropropane (HFC 245fa) and I, I, I, 2, 3, 3, 3
 heptafluoropropane (HFC 227ea) [J]. J Chem Eng Data, 2004, 49(6): 1 581– 1 585.
- [7] Di Nicola G. V apor pressure and gas phase P-V-T data for 1, 1, 1, 3, 3-pentafluoropropane (R-245 fa)
 [J]. J Chem Eng Data 2001, 46(6): 1619-1622
- [8] 陶永华, 伊怡欣, 葛芦生. 新型 PID 控制及其应用 [D]. 北京: 机械工业出版社, 1998 19-22

Development of New High Accuracy PVT Measurement System

YANG Zhi- qiang HAO Zhi- jun, WANG Wei, ZENG Ji- jun, ZHANG Wei, LU Jian (Xi'an Modem Chon istry Research Institute, Xi'an 710065, China)

Abstract A new experimental system of PVT measurement automatically controlled by a computer has been developed. The overall pressure and temperature uncertainty is about ± 1.2 KPa, and ± 5 mK, respectively. The vapor pressures of HFC – 245 falwere measured in the temperature range from 294 to 351 K with the new experimental system, and the experimental results indicated that the average deviation between experimental data and the equation provided in the literature was below 0.03%, and the standard deviation was below 0.484%. Which approved that the new experimental system is reliable.

K ey words PVT properties measurement system; HFC - 245fa saturated vapor pressure

Classifying number: TB852 1